

Л. В. Татьяненко, Р. А. Котельникова, Д. А. Полетаева, О. В. Доброхотова,
И. Ю. Пихтелева, А. Б. Корнеев, Е. А. Хакина, П. А. Трошин, А. И. Котельников

ВЛИЯНИЕ ВОДОРАСТВОРIMЫХ ПОЛИЗАМЕЩЕННЫХ ПРОИЗВОДНЫХ ФУЛЛЕРена НА АКТИВНОСТЬ Са²⁺-АТФАЗЫ САРКОПЛАЗМАТИЧЕСКОГО РЕТИКУЛУМА И ФОСФОДИЭСТЕРАЗЫ ЦИКЛИЧЕСКОГО ГУАНОЗИНМОНОФОСФАТА

Институт проблем химической физики РАН, Московская область, г. Черноголовка, Россия,
e-mail: kotel@icp.ac.ru

Исследовано влияние новых производных фуллерена на функцию гидролаз: Са²⁺-АТФазы саркоплазматического ретикулума (СР) и фосфодиэстеразы циклического гуанозинмонофосфата (ФДЭ цГМФ). Показано, что большинство исследованных производных фуллерена ингибируют активность обоих ферментов. Так, соединения ППФ-I, ППФ-II и ППФ-III полностью тормозят активный транспорт Са²⁺ в 0,009 мМ концентрации и лишь на (55 ± 6) %, (42 ± 8) % и (60 ± 6) % соответственно ингибируют гидролиз АТФ, тем самым разобщая гидролитическую и транспортную функции фермента. Это вызывает изменение соотношения вне и внутриклеточного содержания ионов Са²⁺ и влияет на адгезию метастатических клеток к эндотелию капилляров. Соединение ППФ-III неконкурентно и обратимо действует на гидролитическую функцию Са²⁺-АТФазы СР с $K_i = 1,6 \cdot 10^{-6}$ М. Все исследованные производные фуллерена тормозят функцию ФДЭ цГМФ и способны вызывать антиагрегационный эффект за счет накопления субстрата ФДЭ цГМФ — цГМФ — вторичного мессенджера живых организмов. Полученные данные позволяют прогнозировать возможный лекарственный эффект изучаемых производных фуллерена.

Ключевые слова: Са²⁺ — Mg²⁺ АТФаза саркоплазматического ретикулума, фосфодиэстераза циклического гуанозинмонофосфата, полизамещенные производные фуллерена

Целью настоящего исследования является изучение влияния водорастворимых полизамещенных производных фуллеренов (ППФ) (рис. 1) на каталитическую активность гидролаз: Са²⁺-АТФазы саркоплазматического ретикулума (Са²⁺-АТФазы СР) и фосфодиэстеразы циклического гуанозинмонофосфата (ФДЭ цГМФ). Соединения ППФ I – V, VII, VIII были синтезированы и охарактеризованы в работе [1], соединение VI — в работе [2].

Известно, что Са²⁺-АТФаза СР катализирует активный транспорт ионов Са²⁺ через биологические мембранны за счет гидролиза субстрата фермента АТФ. Ингибирование активного транспорта ионов Са²⁺ через мембрану СР нарушает соотношение концентрации ионов кальция внутри и вне клеток [3, 4], что играет важную роль в процессах образования тромбов и адгезии метастатических клеток к эндотелию капилляров [5]. В ряде работ показано, что одним из механизмов антиметастатического эффекта соединений является ингибирование активного транспорта ионов Са через биомембранны [6, 7], что подтверждается высокой корреляцией данных, полученных в экспериментах *in vitro* и *in vivo* [8].

ФДЭ цГМФ расщепляет субстрат цГМФ, который участвует в важных процессах жизнедеятельности организма, дифференциации клеток, пролиферации [9], определяет антиагрегационные, антигипертензивные и вазодилататорные функции организма [10 – 12]. Поэтому ингибиторы функции ФДЭ цГМФ представляют

большой интерес в качестве потенциальных лекарственных препаратов.

Исследование влияния ППФ на функцию Са²⁺-АТФазы СР и ФДЭ цГМФ способствуют выявлению молекулярных механизмов их биологического действия, позволяющих отбирать среди этого класса соединений потенциальные лекарственные препараты антиметастатического и антиагрегационного спектров действия.

Экспериментальная часть

В работе использовались альбумин человека, имидазол, цГМФ, нуклеотидаза (яд кобры), АТФ производства фирмы “Sigma”, а также гистидин, этилендиаминетрауксусная кислота (ЭДТА), трихлоруксусная кислота (ТХУ), сахароза, соли MgCl₂, NaCl, KCl, CaCl₂, Na оксалат, молибдат аммония фирмы “Реахим” (Россия) после соответствующей дополнительной очистки.

Фермент Са²⁺-АТФазу СР выделяли из белых мышц задних конечностей кроликов [13]. Мышицы помещали в физиологический раствор со льдом (0,5 л раствора на 100 г мышц) в присутствии 10 мМ ЭДТА, pH 7,5. Мышицы измельчали, помещали в среду, содержащую 10 мМ гистидина, 0,1 мМ ЭДТА в 10 % сахарозе, pH 7,0 и гомогенизировали в гомогенизаторе Поттера.

Полученный гомогенат центрифугировали при 10000 g в течение 20 мин. Надосадочную жидкость фильтровали через 6 слоёв марли. Фильтрат центри-

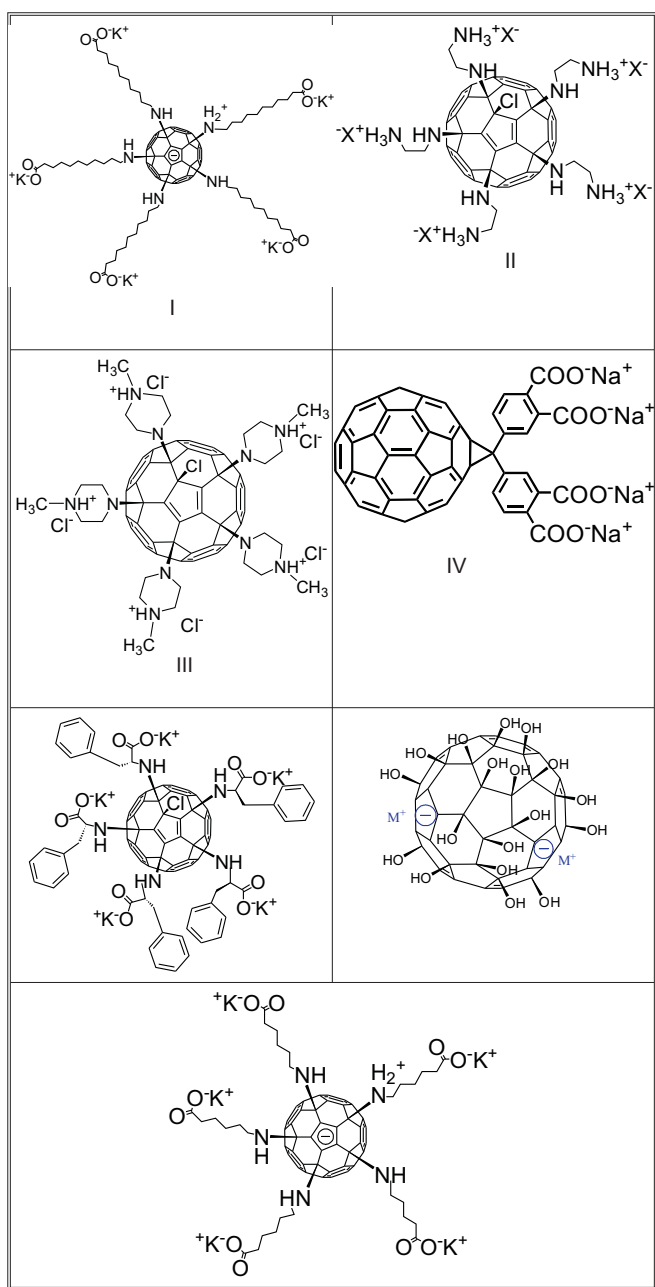


Рис. 1. Структурные формулы водорастворимых полизамещенных производных фуллеренов

фугировали при 36000 g в течение 60 мин. Осадок суспензировали в среде, содержащей 0,6 М KCl и 10 мМ гистидина при pH 7,0 – 7,2, а затем измельчали в гомогенизаторе Поттера, к полученному гомогенату добавляли альбумин человека и инкубировали при постоянном перемешивании в холодильнике в течение 8 – 10 ч. Затем гомогенат центрифugировали при 40000 g в течение 90 мин. Из центрифужных пробирок отбирали средний желеобразный слой, который суспензировали в среде, содержащей 10 мМ гистидина, 0,1 мМ ЭДТА в 30 % сахарозе, pH 7,0. Полученный таким образом ферментный препарат замораживали в жидким азоте. Удельная активность Ca^{2+} -АТФазы СР составляла 15000 нмоль неорганического фосфата, образовавшегося за 1 мин инкубации на 1 мг белка. Кон-

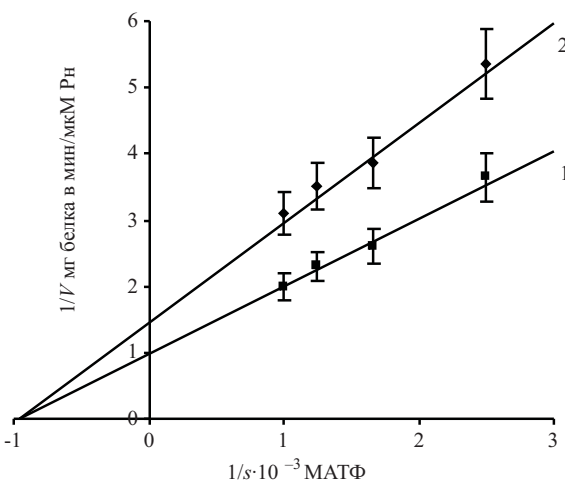


Рис. 2. Изменение скорости гидролиза АТФ от концентрации субстрата под влиянием соединения III в координатах Лайнуи-Берка: 1 — контроль; 2 — в присутствии соединения III в концентрации $5 \cdot 10^{-6}$ М.

центрацию белка определяли по модифицированной методике Лоури [14].

Реакционная среда содержала 4 мМ MgCl_2 , 2,5 мМ имидазола, 100 мМ NaCl, 5 мМ оксалата Na, 0,04 мг белка, 3 мМ АТФ при pH 7,2. Реакцию индуцировали добавлением 0,1 мМ CaCl_2 .

Активность Ca^{2+} -АТФазы определяли по кинетике изменения pH образцов. Гидролитическую активность Ca^{2+} -АТФазы рассчитывали из тангенса угла наклона касательной к начальному участку кривой, описывающей кинетику накопления неорганического фосфата в результате гидролиза АТФ. О скорости изменения концентрации ионов Ca^{2+} судили по времени их полного поглощения визуилами СР, что приводит к прекращению реакции гидролиза АТФ. Относительную активность фермента рассчитывали по формуле $I = 100(A_0 - A)/A_0$, где I — относительная активность фермента; A_0 — удельное содержание неорганического фосфата в контрольной пробе; A — удельное содержание неорганического фосфата в опытной пробе, содержащей химическое соединение.

Кинетику ингибиования Ca^{2+} -АТФазы СР исследовали по зависимости скорости ферментативной реакции от концентрации субстрата (АТФ) в присутствии и в отсутствие исследованного соединения III в концентрации $5 \cdot 10^{-6}$ М [15].

Обратимость ингибиования определяли путем диализа раствора фермента Ca^{2+} -АТФазы СР, содержащего исследуемые ППФ в концентрации $9,4 \cdot 10^{-6}$ М. Диализ проводился против 200 мл инкубационной среды в течение 24 ч при 4 – 5° С в отсутствие фуллереновых производных.

ФДЭ цГМФ выделяли из коры головного мозга крыс [16]. Ткань головного мозга крыс гомогенизировали в гомогенизаторе Поттера в 10-кратном по массе количестве охлажденного 0,2 М трис-HCl буфера, pH 7,5. Гомогенат центрифугировали в течение 1 ч при 40000 g на центрифуге K-32M. Надосадочную жидкость, содержащую фермент, замораживали в жидким

Таблица 1

Влияние фуллеренов на активность Ca^{2+} -АТФазы СРТорможение гидролитической и транспортной функции Ca^{2+} АТФазы СР

Соединение ППФ	Концентрации, М									
	$9,4 \cdot 10^{-6}$		$5 \cdot 10^{-6}$		$5 \cdot 10^{-6}$		$2 \cdot 10^{-6}$		$2 \cdot 10^{-7}$	
	Активный транспорт Ca^{2+}	Гидролиз АТФ								
I	100 ± 10	$55 \pm 6^*$	60 ± 6	$30 \pm 3^*$	47 ± 5	$17 \pm 1^*$	25 ± 2	17 ± 2	0	0
II	100 ± 10	$42 \pm 4^*$	-	-	53 ± 5	$30 \pm 3^*$	0	0	-	-
III	100 ± 10	$60 \pm 6^*$	78 ± 8	$50 \pm 5^*$	50 ± 5	$33 \pm 3^*$	-	-	0	0
IV	-	-	100 ± 10	100 ± 10	-	-	75 ± 8	$51 \pm 6^*$	56 ± 6	$20 \pm 2^*$
V	-	-	-	-	24 ± 2	29 ± 3	13 ± 1	10 ± 1	$8 \pm 0,8$	$3 \pm 0,3$
VI	0	0	-	-	0	0	-	-	-	-
VII	57 ± 8	52 ± 5	20 ± 2	38 ± 4	18 ± 2	33 ± 3	14 ± 1	11 ± 1	0	0

Примечание: приведены процентные значения по торможению гидролитической и транспортной функции Ca^{2+} АТФазы СР (данные 4 – 6 опытов для каждого соединения) ($M \pm m$) %.

Преинкубация комплекса с Ca^{2+} АТФазой СР — 3 мин.

* $P < 0,01$ по сравнению с транспортной функцией фермента.

Прочерки означают отсутствие данных у исследованного комплекса.

Таблица 2

Обратимость действия соединений ППФ-III на функцию Ca^{2+} -АТФазы СРИнгибирование активности Ca^{2+} АТФазы СР, % от контроля

Соединение ППФ	до диализа		после диализа	
	Активный транспорт Ca^{2+}	Гидролиз АТФ	Активный транспорт Ca^{2+}	Гидролиз АТФ
III	$100 \pm 6^*$	$60 \pm 6^*$	$20 \pm 2^*$	0*

Примечание: концентрация III в пробе $9,4 \cdot 10^{-6}$ М.

Приведены процентные значения торможения активности Ca^{2+} АТФазы СР (данные 3 – 4 опытов) ($M \pm m$) %

* $p < 0,01$ после диализа.

азоте. Удельная активность ФДЭцГМФ составляла 7 мкМ Рн/мг белка в мин. Активность ФДЭцГМФ определяли по количеству образовавшегося в процессе ферментативной реакции ГМФ, которое равно количеству неорганического фосфата, образовавшегося из

ГМФ при добавлении нуклеотидазы [16]. При определении активности ФДЭ цГМФ количество неорганического фосфата, накапливающегося в процессе ферментативной реакции, определяли спектроскопическим методом при длине волны $\lambda = 375$ нм с использованием спектрофотометра “Specord M-40” (фирма “Карл Цейс”)

Таблица 3

Влияние фуллеренов на активность ФДЭ цГМФ

Торможение активности ФДЭ цГМФ, % от контроля

Соединение ППФ	Концентрации соединений, М		
	10^{-4}	10^{-5}	10^{-6}
I	$85 \pm 8^*$	25 ± 2	14 ± 1
II	$80 \pm 8^*$	55 ± 6	13 ± 1
III	$78 \pm 8^*$	36 ± 4	11 ± 1
IV	$98 \pm 9^*$	42 ± 4	26 ± 3
V	64 ± 6	19 ± 2	$1 \pm 0,1$
VI	$92 \pm 9^*$	$66 \pm 7^*$	24 ± 2
VII	57 ± 6	27 ± 3	16 ± 2

Примечание: приведены процентные значения торможения активности ФДЭ цГМФ производными фуллеренов (данные 4 – 6 опытов для каждого препарата) ($M \pm m$) %;

* $p < 0,01$ по сравнению с контролем.

Результаты и их обсуждение

Влияние ППФ (табл. 1) на активность Ca^{2+} -АТФазы СР и ФДЭ цГМФ исследовали после предварительной преинкубации соединений с ферментом. Как видно из табл. 1, соединения I – III полностью тормозят активный транспорт ионов Ca^{2+} СР-АТФазой СР в концентрации $9,4 \cdot 10^{-6}$ М и лишь на (55 ± 6), (42 ± 8), (60 ± 6) % соответственно ингибируют гидролиз АТФ, тем самым разобщая гидролитическую и транспортную функции фермента. Аналогичный разобщающий эффект этих соединений наблюдается в концентрации $3,8 \cdot 10^{-6}$ М. Соединение IV на 100 % тормозит гидролитическую и транспортную функции фермента в концентрации $5 \cdot 10^{-6}$, а в концентрациях $2 \cdot 10^{-6}$ М и $2 \cdot 10^{-7}$ М на (75 ± 8) % и (56 ± 6) % тормозит актив-

ный транспорт ионов кальция и на $(51 \pm 6)\%$ и $(20 \pm 2)\%$ соответственно ингибируют гидролиз АТФ.

Наблюдаются ингибирующие эффекты на функцию Ca^{2+} -АТФазы соединения VII, но разобщающего действия на активный транспорт Ca^{2+} и гидролиз АТФ не наблюдается (табл. 1). Практически не влияют на работу фермента соединения V; VI; VII.

Полученные данные позволяют предполагать выраженный антиметастатический эффект соединений I – III, а также IV [7, 8, 17].

Важной характеристикой механизма действия ППФ является выявление обратимости их действия на активность Ca^{2+} -АТФазы СР. Как видно из табл. 2, гидролитическая и транспортная функции III после диагностики в значительной степени восстанавливаются. Это свидетельствует о том, что соединение III является обратимым ингибитором функции Ca^{2+} -АТФазы СР. Следовательно, III нековалентно связывается с ферментом.

О характере связывания фермента с ингибитором III судили по характеру зависимости обратных значений скорости ферментативной реакции ($1/v$) от концентрации субстрата ($1/s$) ($1 \cdot 10^{-3} - 4 \cdot 10^{-4}$ М) в присутствии исследуемого ингибитора. Используя численные значения максимальных скоростей процесса гидролиза АТФ, рассчитывали константу ингибирования (K_i) под влиянием III в концентрации $5 \cdot 10^{-6}$ М [15]. Как видно из рис. 2, III неконкурентно тормозит гидролитическую функцию Ca^{2+} -АТФазы СР с $K_i = 1,6 \cdot 10^{-6}$ М, что свидетельствует о том, что III не связывается с активным центром фермента.

Как видно из табл. 3, все исследованные производные фуллеренов тормозят функцию ФДЭ цГМФ. Этот результат позволяет предположить наличие антиагрегационного эффекта при их действии. Это связано со способностью водорастворимых ППФ ингибировать ФДЭ цГМФ и накапливать в организме один из важнейших мессенджеров метаболизма — цГМФ [12].

Как видно из табл. 2, соединения I – IV, VI, VIII в концентрации 0,1 мМ эффективно ингибируют ФДЭ цГМФ.

Полученные результаты позволяют предположить, что вышеперечисленные соединения будут обладать

выраженным антиагрегационным терапевтическим действием. Остальные соединения — V, VII — ингибируют каталитическую функцию ФДЭ цГМФ значительно меньше.

Таким образом, полученные результаты позволяют прогнозировать у изучаемых водорастворимых полизамещенных производных фуллеренов наличие антиметастатической и антиагрегационной активности, что обуславливает интерес к их углубленному изучению в качестве потенциальных лекарственных препаратов.

ЛИТЕРАТУРА

1. A. B. Kornev, E. A. Khakina, S. I., et al., *Chem. Commun.*, **48**, 5461 – 5463 (2012).
2. A. G. Bobylev, A. B. Kornev, L. G. Bobyleva, et al., *Org. Biomol.*, **9**, 5714 – 5719 (2011).
3. K. Honn, J. Onoda, C. Diglio, B. Sloane, *Proc. Soc. Exp. Biol. Med.*, **174**, 16 – 17 (1983).
4. G. A. Schmark, A. M. Levfer, *Res. Communic. chem. Pathol. Pharmacol.*, **35**, 178 – 177 (1982).
5. F. Fidler, *Cancer Res.*, **50**, 6130 – 6138 (1990).
6. N. P. Konovalova, L. M. Volkova, L. V. Tatyanyenko, *News Let.*, **4**(2), 3 – 6 (1997).
7. N. P. Konovalova, L. M. Volkova, L. V. Tatyanyenko, *Neoplasma*, **44**(6), 361 – 365 (1997).
8. Л. В. Татьяненко, Н. П. Коновалова, Г. Н. Богданов и др., *Ж. биомед. химии*, **52**(1), 52 – 61 (2006).
9. F. Rind, *Modern Drug Discoveri*, Nov / Dec; **31**, 511 (1998).
10. О. Г. Бусыгина, Е. Л. Лебедева, И. С. Северина, *Вопр. мед. химии*, **5**, 24 – 26 (1990).
11. Щ. Г. Бусыгина, И. С. Северина, *Биохимия*, **55**(10), 1812 – 1818 (1990).
12. В. Г. Граник, Н. Б. Григорьев, *Оксид азота (NO). Новый путь к поиску лекарств*, Вузовская книга, Москва (2004), сс. 60 – 61.
13. В. Б. Ритов, В. М. Мельгунов, П. Г. Комаров, *Докл. АН СССР*, **233**, 730 – 733 (1977).
14. Д. Бейли, *Методы химии белков*, Мир, Москва (1980), с. 53.
15. И. В. Березин, А. А. Классов, *Практический курс химической и ферментативной кинетики*, Из-во МГУ, Москва (1973), сс. 77 – 84.
16. Р. Е. Либензон, Т. Т. Щеколдина, О. Е. Ватолкина, *Вопросы мед. химии*, **4**, 526 – 530 (1977).
17. Н. П. Коновалова, *Технол. живых систем*, **1**(3), 42 – 48 (2004).

Поступила 11.07.12